

# ارزیابی اندرکنش دینامیکی سازه‌ی سرریز نیلوفری با آب مخزن سد به روش تلفیق حجم محدود - المان محدود

محمدحسین میرآبی (دانشجوی دکتری)

دانشکده‌ی مهندسی عمران، دانشگاه قم

محمد عالم باقری<sup>\*</sup> (استادیار)

دانشکده‌ی مهندسی عمران و محیط زیست، دانشگاه تربیت مدرس

احسان جباری (دانشیار)

طاهره‌رجایی (دانشیار)

دانشکده‌ی مهندسی عمران، دانشگاه قم

در پژوهش حاضر، رفتار سازه‌ی تاج و گلگاه سرریز نیلوفری در هنگام رخداد سیلاب ارزیابی شده است. سازه‌ی سرریز با استفاده از روش المان محدود و سیال مخزن سد با روش حجم محدود در نرم‌افزار ANSYS شبیه‌سازی شده است. رفتار سازه‌ی سرریز نیلوفری طی سه سنتاریو شبهیه‌سازی شده است: (الف) سنتاریوی تحلیل استاتیکی مخزن خالی سد، (ب) سنتاریوی تحلیل استاتیکی مخزن پر که جریان روی تاج سرریز وجود ندارد و (ج) سنتاریوی تحلیل دینامیکی اندرکنش سازه - سیال. سنتاریوی (ج) در دو بخش: ۱. شروع حرکت جریان سیلاب بر روی سرریز طی گذر زمان و ۲. حالتی که جریان سیلاب بر روی سرریز به تعادل رسیده است، تقسیم‌بندی شده است. تحلیل سازه‌ی بتی به صورت خطی انجام شده است. با توجه به نتایج بدست آمده، پحرانی ترین حالت برای سازه، از لحاظ بیشینه‌ی تنش کششی به مقدار ۵/۳ مگاپاسکال، در بخش اول سنتاریوی (ج) رخ داده است. همچنین بیشینه‌ی تنش فشاری به مقدار ۱۲/۳ مگاپاسکال نیز در بخش دوم سنتاریوی (ج) بوده است.

mh.mirabi@hotmail.com  
alembagheri@modares.ac.ir  
ehsan.jabbari@gmail.com  
taher.rajaee@yahoo.com

وازگان گلیدی: دینامیک سیالات محاسباتی، اندرکنش سازه و سیال، سرریز نیلوفری، تحلیل عددی سازه.

## ۱. مقدمه

کی - ابیلیون<sup>۴</sup> و یا کی - امگا<sup>۵</sup>، از فرض بوزینسک<sup>۶</sup> استفاده می‌کنند.<sup>[۷]</sup> فرض بوزینسک، چگونگی تخمین مؤلفه‌های تانسور تنش سیال را برای معادله‌های آشفتگی اخیر مشخص می‌کند. فرض بوزینسک با ساده‌سازی فرایند محاسبات، فقط در برخی از قسمت‌های دامنه‌ی سیال، آشفتگی را غیرابروتوبیک<sup>۷</sup> تحلیل می‌کند. لذا با توجه به ذات غیرابروتوبیک آشفتگی در طبیعت، فرض مذکور از واقعیت به دور است.<sup>[۸]</sup> در میان مدل‌های ریاضی آشفتگی موجود، مدل آشفتگی تنش ریزولوز<sup>۸</sup> با به کارگیری ۶ معادله‌ی انتقال مجزا برای هر یک از مؤلفه‌های تانسور تنش سیال، آشفتگی را به صورت غیرابروتوبیک تحلیل می‌کند.<sup>[۹]</sup> این‌گونه تحلیل، جریان را با دقت و واقعیت بیشتری بررسی می‌کند. مینورد<sup>۹</sup><sup>[۱۰]</sup>،<sup>[۱۱]</sup> مطالعات فلسفانی درخصوص شکل تاج سرریز نیلوفری و ارتفاع آن انجام داد. روش عددی در محاسبات سرریزهای نیلوفری نیز اولین بار توسط کاسیدی<sup>۱۰</sup><sup>[۱۱]</sup> انجام پذیرفت. وی توانست عمق آب و فشار استاتیکی موجود بر روی تاج سرریز را به صورت دو بعدی مدل کند. نتایج مدل عددی با مقادیر واقعی، بسیار نزدیک بودند. بتس<sup>۱۱</sup>

سرریزها از جمله سازه‌های مهم و حیاتی در طول عمر یک سد هستند که کارایی و عملکرد صحیح آن‌ها، مستلزم طراحی دقیق و مسئله‌انه است. سرریزهای نیلوفری به علم داشتن ساختاری استاده در داخل مخزن سد، اهمیتی دوچندان دارند. اعمال بارگذاری وزنی و هیدرودینامیکی به صورت توانان بر بدنی استاده سازه بتی سرریز هنگام سیلاب، تحلیل اندرکنش سازه و سیال آن را پیچیده می‌سازد.<sup>[۱۲]</sup> با به کارگیری روش‌های عددی در دینامیک سیال‌های محاسباتی و تحلیل سازه‌ها، می‌توان رفتار سازه و پارامترهای هیدرودینامیک سیال را پیش‌بینی کرد. در دامنه‌ی سیال‌های مدل، انتخاب نوع معادله‌های ناویر استوکس<sup>۱</sup> متناسب با مدل ریاضی آشفتگی RANS<sup>۲</sup> کارآمد، امری بسیار حساس است. عمدهاً معادله‌های آشفتگی تک معادله‌یی، مانند: اسپلارلت - الماراس<sup>۳</sup> و یا معادله‌های دو معادله‌یی، نظری:

\* نویسنده مسئول  
تاریخ: دریافت ۲۶/۲/۱۳۹۷، اصلاحیه ۲/۵/۱۳۹۷، پذیرش ۱۳/۵/۱۳۹۷.

DOI:10.24200/J30.2018.50970.2359

محدود انجام پذیرفته است. بارگذاری سازه، توسط کمیت فشار سیال بر دیواره سازه اعمال و پاسخ سازه به بارگذاری انجام شده، در حکم تغییرشکل شرایط مرزی دیواره دامنه سیال در آن لحاظ شده است. نتایج اندرکش دو طرفی مذکور به صورت سری زمانی ارزیابی شده است. نتایج تحلیل های تامامی سه سناریو، به صورت تحلیل استاتیکی و دینامیکی بررسی و مقایسه شده اند و بحرانی ترین حالت ممکن برای سازه سرریز نیلوفری معرفی شده است.

## ۲. معادلات حاکم

معادلات به کارگرفته شده در نرم افزار برای بخش سیالات، معادله های دیفرانسیل انتقال برای پارامترهای هیدرودینامیکی جریان و ماتریس های جابه جایی و تش المان های جامد برای قسمت سازه هستند. معادلات حاکم بر جریان، شامل معادله ای انتقال جرم (معادله ۱)، تکانه (معادله ۲) و انرژی جنبشی آشفتگی (معادله های ۳ و ۴)، از نوع RANS در دامنه سیال هستند. در پژوهش حاضر، از مدل ریاضی آشفتگی تشن رینولدز استفاده شده است که علت انتخاب آن، انتقال مجرای تک مؤلفه های تانسور تشن رینولدز در معادلات انتقال مجرای است. سایر معادلات ریاضی آشفتگی، از فرض ساده سازی شده ای بوزینسک استفاده می کنند که غیرایزوتروپیک بودن آشفتگی را محدود به نواحی خاصی می کنند. آشفتگی حاصل، توسط ترم تولید انرژی جنبشی آشفته ایجاد می شود و توسط ترم های انتشار مولکولی و حرکتی جریان گسترش می یابد. مؤلفه های تانسور تشن رینولدز نیز به صورت غیرایزوتروپیک، نوسان ها را در دامنه مدل ایجاد می کنند. نوسان های مذکور در قالب تغییرات زمانی پارامترهای هیدرودینامیکی جریان نظری فشار ظاهر می شوند. تغییرات زمانی مذکور در فشار باعث تغییرات زمانی در بارگذاری می شوند و به نوبه خود وضعیت تشن های سازه سرریز را در هر زمان متغیر می سازند. از جمله مهم ترین ترم های موجود در معادله ای انتقال آشفتگی تشن رینولدز، ترم کرنش فشاری است که فشار نوسانی در یک راستا به راستای دیگر مختصاتی منتقل می کند و مانند آنچه در طبیعت رخ می دهد، جریان را مدل می کنند. لذا معادله ریاضی آشفتگی ۷ معادله بی تشن رینولدز، گزینه مناسبی برای پیش بینی رفتار تصادفی غیرایزوتروپیک پارامترهای هیدرودینامیکی جریان است.

$$\frac{\partial(\rho)}{\partial t} + \frac{\partial(\rho u_j)}{\partial x_j} = 0 \quad (1)$$

$$\begin{aligned} \frac{\partial(\rho u_i)}{\partial t} + \frac{\partial(\rho u_i u_j)}{\partial x_j} &= -\frac{\partial \bar{p}}{\partial x_i} + \frac{\partial}{\partial x_j} \left( \mu \left( \frac{\partial u_i}{\partial x_j} + \frac{\partial u_j}{\partial x_i} \right) \right) \\ &+ \frac{\partial(-\rho u'_i u'_j)}{\partial x_j} \end{aligned} \quad (2)$$

$$\begin{aligned} \frac{\partial(\rho u'_i u'_j)}{\partial t} + \frac{\partial(\rho u_k u'_i u'_j)}{\partial x_k} &= -\frac{\partial}{\partial x_k} \left( \rho u'_i u'_j u'_k \right. \\ &\left. + p (\delta_{kj} u'_i + \delta_{ik} u'_j) \right) \\ &+ \frac{\partial}{\partial x_k} \left( \mu \frac{\partial}{\partial x_k} (u'_i u'_j) \right) - \rho \left( \overline{u'_i u'_k} \frac{\partial \bar{u}_j}{\partial x_k} + \overline{u'_j u'_k} \frac{\partial \bar{u}_i}{\partial x_k} \right) \\ &- \rho \beta \left( g_i \overline{u'_j \theta} + g_j \overline{u'_i \theta} \right) + p \left( \frac{\partial u'_i}{\partial x_j} + \frac{\partial u'_j}{\partial x_i} \right) - 2\mu \frac{\partial u'_i}{\partial x_k} \frac{\partial u'_j}{\partial x_k} \end{aligned} \quad (3)$$

[۱۹۷۹]، روش المان محدود در حل معادله های حاکم بر دامنه سیال را به کار گرفت و علاوه بر دقت مناسب تخمین، سرعت همگرایی نتایج را نیز افزایش داد.

لی و همکاران [۱۹۸۹] با به کارگیری روش المان محدود در دو بعد، توانستند انحنای بهتری در سطح آزاد آب واقع بر تاج سرریز نیلوفری را محاسبه کنند. اولین

و کیلسویگ [۱۹۹۸] نیز با استفاده از معادله های ناویر استوکس RANS و مدل ریاضی آشفتگی کی - اپسیلون در سه بعد، ضریب تخلیه برخی از

انواع سرریزهای نیلوفری را محاسبه کردند. همچنین میرآبی و منصوری [۲۰۱۸]

نشان دادند که در جریان هایی با وضعیت آشفتگی متغیر، نظریه جت های مستعرق تحت تأثیر دیواره، مدل ریاضی آشفتگی تشن رینولدز در کنار معادله های ناویر استوکس مرتبط، دقت بسیار بالایی را از خود نشان می دهد. نتایج کارایشان بیانگر

آن بود که ترم کرنش فشاری و ترم استهلاک انرژی جنبشی آشفته در معادله آشفتگی تشن رینولدز، به دقت پیش بینی می افزاید. هو [۱۳] و همکاران [۲۰۱۵]

نیز اندرکش های مختلف بین سازه و سیال را انجام دادند. سیال های به کار رفته در پژوهش آنان تراکم ناپذیر بوده اند. مطالعات ایشان، هر یک از روش ها و دقت شان در دخوص می پیش بینی رفتار سازه و سیال را دسته بندی کرده است. گرندموتن و

مدادی [۲۰۱۲]، هم با مطالعه روش های مختلف پیرامون اندرکش سازه و

سیال، رفتار سیال را با سازه های صلب و کشسان بررسی کردند. همچنین سیال لرج

مورد استفاده در دو حالت تراکم پذیر و تراکم ناپذیر به کار گرفته شد و در نهایت، نتایج سری زمانی تشن ها و تغییر مکان سازه را ارزیابی کردند. لیا و چوپرا [۱۹۷۴]

نیز تأثیر اندرکش آب مخزن در پاسخ دینامیکی برج آبگیر را ارزیابی کردند. پاسخ دینامیکی برج مذکور تحت اثر زمین لرزه بوده و از اثر امواج سطحی ایجاد شده بر

روی آب صرف نظر شده است. همچنین سیال آب به عنوان سیال تراکم ناپذیر در

نظر گرفته شده است. ایشان برای مدل کردن آب مخزن از روش جرم افزوده استفاده کردن و نتایج بیانگر آن بود که تحلیل اندرکش باعث می شود بسامد نوسان های

سازه ای آبگیر و نسبت دمپینگ مودال آن کاهش یابد. همچنین کویال [۱۶] و چوپرا

[۱۹۸۹] اثر زمین لرزه بر برج های آبگیر به صورت اندرکش آب - سازه - خاک

را بررسی کردن و نتیجه گرفتند که این نوع مدل سازی رفتار جریان و ضریب تخلیه ری انجام شده، در بالا بودن

دقت جواب شبیه سازی، بسیار مؤثر است. رضوی و احمدی [۲۰۱۷] نیز سرریز

نیلوفری را به صورت سه بعدی با نرم افزار Flow 3D شبیه سازی کردند و با مطالعه

بر روی دقت مدل سازی رفتار جریان و ضریب تخلیه ری سرریز دیگر دیافتند که دقت

شبیه سازی در مقایسه با نتایج آزمایشگاهی موجود، در حد قابل قبول است. سو [۱۷]

و همکاران [۲۰۱۶] بر روی شبیه سازی سه بعدی سرریزهای اندازه های متوسط،

مطالعاتی را بر روی ضریب تخلیه ری سرریز کنگره بی، ۷۱٪ بیشتر از سرریز اوچی خطی

است. ایشان همچنین دریافتند رقوم کف کانال جانبی تخلیه سیال، مؤثرترین

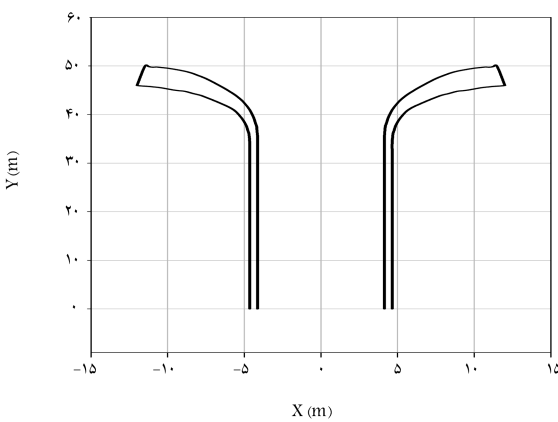
گزینه در تخلیه سیال است. انجیل زاده و نوهانی [۲۰۱۶] نیز جریان بر

روی سرریز نیلوفری را به سیله نرم افزار Flow 3D شبیه سازی کردند و با مقایسه

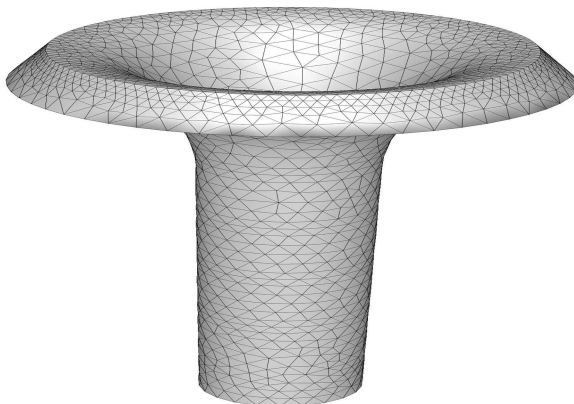
نتایج شبیه سازی و داده های آزمایشگاهی دریافتند که خطای تخمين تخلیه در حدود ۴٪/۶٪ بوده است. همچنین تخمین عمق روی تاج سرریز خطایی برابر با ۷٪/۶٪

داشتند.

در پژوهش حاضر، برای قسمت تاج و گلوگاه سازه سرریز نیلوفری که به صورت ایستاده در مخزن سد مستقر می شوند، در محدوده خطی ارزیابی شده اند. همچنین از معادلات دینامیکی قانون دوم نیوتون، ناویر استوکس آشفته و مدل ریاضی آشفتگی تشن رینولدز برای تحلیل سیالاتی اندرکش توسعه نرم افزار ANSYS استفاده شده است. اندرکش بین سازه و سیال، از طریق تلفیق روش های المان محدود و حجم



شکل ۱. ابعاد تاج، گلوگاه و بدنی سرریز نیلوفری.



شکل ۲. شبکه‌بندی سه‌بعدی سازه‌ی سرریز نیلوفری.

جدول ۱. مشخصات فیزیکی بتن سازه‌ی سرریز نیلوفری.

مدول کشسانی	نسبت پواسون
۳۰ گیگاپاسکال	۰/۱۸

را نشان می‌دهد. تعداد المان‌های به کار رفته در تقسیم‌بندی سازه‌ی سرریز  $7860^{\circ}$  عدد و نوع المان چهاروجهی است.

جنس سازه‌ی سرریز نیلوفری از بتن است. جهت تحلیل خطی سازه، بر مقدار مدول کشسانی، مقاومت کششی و فشاری بتن افزوده شده است تا آثار حضور آرماتورهای فولادی به شکل ضمنی لحاظ شود. مشخصات فیزیکی بتن سرریز نیلوفری در جدول ۱ ارائه شده است. افزایش مقادیر پارامترهای فیزیکی مذکور فقط جهت مدل کردن سازه در محدوده‌ی خطی و معادل با بتن مسلح بوده است. قسمت دیواره‌ی تحتانی محاط بر محل تخلیه از سرریز، به صورت اتصال گیردار به زمین مدنظر قرار گرفته است. مدل آشتفتگی تنش رینولدز، قابلیت مدل کردن کرنش ناگهانی ناشی از فشار در جهت‌های مختلف (ترم کرنش فشاری) را دارد. با توجه به این موضوع، این قبیل کرنش‌ها می‌توانند مانند بارگذاری ضربه‌یی بر پیکره‌ی سازه‌ی سرریز عمل کنند. بنابراین لازم است چنین حالتی مانند آنچه در واقعیت رخ می‌دهد، در شیوه‌ی سازی مدنظر قرار گیرد. این قابلیت فقط در مدل ریاضی آشتفتگی تنش رینولدز وجود دارد.

دامنه‌ی عبوری سیال نیز با نوع شبکه‌بندی مشابه سازه، از نوع چهار وجهی به احجام کتترل محدود تقسیم‌بندی شده است. شرایط مرزی مدل، شامل مرزهای:

$$\begin{aligned} \frac{\partial(\rho\varepsilon)}{\partial t} + \frac{\partial(\rho\varepsilon\bar{u}_i)}{\partial x_i} &= \frac{\partial}{\partial x_j} \left( \left( \mu + \frac{\mu_t}{\sigma_\varepsilon} \right) \frac{\partial\varepsilon}{\partial x_j} \right) \\ &\quad - \frac{1}{2} C_{\varepsilon 1} \left( -2\rho u'_i u'_k \frac{\partial\bar{u}_i}{\partial x_k} - C_{\varepsilon 2} \rho \beta (g_i \bar{u}'_i \theta + g_i \bar{u}'_i \theta) \right) \\ &\quad - \rho C_{\varepsilon 1} \frac{\varepsilon'}{k} \end{aligned} \quad (4)$$

که در آن‌ها،  $u_i$  مؤلفه‌های بردار سرعت جریان،  $p$  مؤلفه‌ی فشار استاتیکی جریان،  $\bar{u}'_i$  مؤلفه‌های تانسور تنش رینولدز و  $\varepsilon$  نیز استهلاک انرژی جنبشی آشفته هستند.

همچنین مقادیر  $C_{\varepsilon 1}$ ،  $C_{\varepsilon 2}$  و  $\sigma_\varepsilon$  به ترتیب برابر  $1/92$ ،  $1/44$  و  $1$  فرض شده‌اند.<sup>[۱]</sup> مقدار  $C_{\varepsilon 2}$  نیز تابعی از سرعت سیال است. برای مدل کردن جریان در مجاورت دیواره هم از توابع دیواره‌ی استاندارد استفاده شده و شرط عدم لغزش در مرزهای دیواره برقرار است. برای گسترش سازی معادلات در دامنه، روش حجم محدود به کار می‌رود و هر یک از معادلات انتقال در حجم‌های کتترل، مؤلفه‌های مجھول را تحلیل می‌کنند.

معادله‌ی دینامیکی تعادل در قانون دوم نیوتن، از معادلات تحلیل سازه است (معادله‌ی ۵) که برای تمامی المان‌های سازه‌ی سرریز نیلوفری به کار می‌رود و تعیین‌مکان‌ها، سرعت و شتاب المان‌ها محاسبه می‌شوند. تعیین‌مکان و تنش‌های هر المان نیز با معادله‌های ۶ تا ۱۰ محاسبه می‌شوند. المان‌های هندسه‌ی سرریز نیلوفری، از نوع چهاروجهی است، بنابراین لازم است در معادله‌های ۹ و ۱۰، از تابع شکل مناسب المان چهاروجهی استفاده شود.

$$\left\{ F^{load}(t) \right\} = [M] \{ \ddot{x}(t) \} + [C] \{ \dot{x}(t) \} + [K] \{ x(t) \} \quad (5)$$

$$\{ \sigma(t) \} = [D] \left\{ \varepsilon^{ela}(t) \right\} \quad (6)$$

$$[M] = \rho \int_{vol} [N]^T [N] dV \quad (7)$$

$$[C] = \alpha [M] + \beta [K] \quad (8)$$

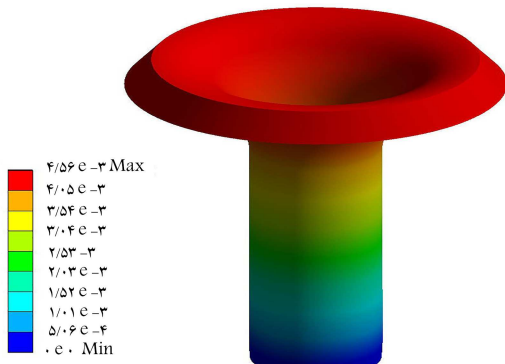
$$[K] = \int_{vol} [B]^T [D] [B] dV \quad (9)$$

$$\left\{ \varepsilon^{ela}(t) \right\} = [B] \{ x(t) \} \quad (10)$$

که در آن‌ها،  $[M]$  ماتریس جرم المان،  $[C]$  ماتریس میرایی المان،  $[K]$  ماتریس سختی المان،  $[D]$  ماتریس کشسانی المان،  $[N]$  ماتریس تابع شکل المان و  $[B]$  ماتریس کرنش - جایه‌جایی المان هستند. همچنین  $\alpha$  و  $\beta$  به ترتیب ضریب متناسب با ماتریس جرم و سختی هستند. برای مستهلک کردن انرژی به وجود آمده در سازه‌ی بتنی سرریز نیلوفری، مقدار  $5\%$  میرایی بحرانی در نظر گرفته شده است. میرایی مذکور با استفاده از روش رایلی و با توجه به مقادیر  $\alpha$  و  $\beta$  در تحلیل سازه لحاظ می‌شود.<sup>[۱۷]</sup>

### ۳. مشخصات هندسی و فیزیکی مدل

سازه‌ی تاج و گلوگاه سرریز نیلوفری از جنس بتنی و به صورت سه‌بعدی در نرم افزار ANSYS بررسی شده است. ابعاد مقطع سازه‌ی سرریز نیلوفری در شکل ۱ مشاهده می‌شود. پروفیل شکل تاج و قسمت گلوگاه با توجه به دبی عبوری سیالاب از سرریز، براساس ضوابط موجود در USBR طراحی شده است.<sup>[۱۸]</sup> ارتفاع کلی سازه،  $50$  متر و ضخامت آن در تراز تاج پایه به ترتیب حدود  $3/8$  و  $1$  متر است. شکل ۲، شبکه‌بندی المان‌های به کار رفته برای تحلیل المان محدود سازه‌ی سرریز نیلوفری



شکل ۴. تغییرشکل سازه بر حسب مترا.

جدول ۲. تنش‌های بیشینه و محل وقوع آن‌ها در سناریوی اول.

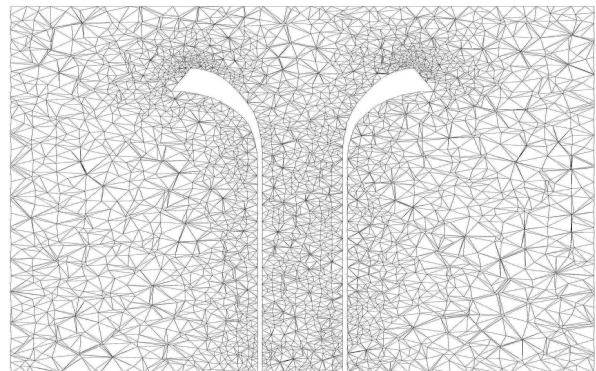
تنش‌ها	مقدار و محل وقوع
بیشینه‌ی کششی	۰,۴۵ مگاپاسکال (دیواره تاج)
بیشینه‌ی فشاری	۰,۴۶ مگاپاسکال (دیواره مجاور تکیه‌گاه)

مخزن سد آب وجود دارد، اما بر روی سرریز جریانی وجود ندارد. در این حالت بارهای وزن و هیدرواستاتیک، معادل با سطح آب در تراز تاج سرریز به بدنی بتنی سرریز وارد می‌شوند. سناریوی سوم، مربوط به زمانی است که جریان سیلان توسط سرریز در حال تخلیه است. با توجه به ماهیت مسئله، برای دو سناریوی اول، تحلیل استاتیکی و برای سناریوی سوم، تحلیل دینامیکی انجام شده است. در تحلیل‌های استاتیکی، بار وزن سازه و بار هیدرواستاتیک آب مخزن بر سازه اعمال می‌شوند. اما در تحلیل دینامیکی، ریزش جریان سیلان آب در داخل سرریز نیلوفری، به وسیله‌ی اندرکنش دو طرفه‌ی سازه و سیال مدل شده است.

#### ۱.۴. سناریوی اول (مخزن سد خالی)

شکل ۴، تغییرشکل سازه‌ی سرریز تحت سناریوی اول (فقط بار وزن) را نشان می‌دهد که تحت بار وزن با توجه به تقارن موجود، سازه نشست جزئی به میزان ۰,۴۵ میلی‌متر داشته و تغییرشکل جانبه‌ی نداشته است. به دلیل اتصال گیردار در محل تحتانی سرریز، قسمت تاج سرریز نیلوفری، تغییرشکل قائم بیشتری نسبت به سایر نقاط داشته است. کانتورهای تنش‌های شعاعی، محیطی، قائم، تنش اصلی بیشینه و کمینه‌ی سازه‌ی سرریز نیلوفری، تحت سناریوی اول در شکل ۵ مشاهده می‌شود.

با توجه به وضعیت تنش‌های مشخص شده در شکل ۵، بیشینه‌ی تنش کششی به وجود آمده تحت فقط بار وزن در دیواره‌ی تاج سرریز نیلوفری با میزان ۰,۴۵ مگاپاسکال رخ داده است. همچنین میزان بیشینه‌ی تنش فشاری موجود، در قسمت دیواره‌ی داخلی مجاور تکیه‌گاه سازه با میزان ۰,۴۶ مگاپاسکال به وجود آمده است. تمامی تنش‌های به وجود آمده در محدوده‌ی خطی رفتار بتن چه درکشش و چه در فشار بوده و احتمال بروز ترک در بدنی بتنی سازه‌ی سرریز وجود نداشته است. با توجه به مقادیر تنش بیشینه و کمینه، دیواره‌ی قسمت تحتانی و همچنین تاج سرریز نیلوفری در سناریوی اول، به ترتیب بیشترین تنش‌های فشاری و کششی را تجربه می‌کنند. در جدول ۲، مقدار تنش‌های بیشینه‌ی کششی و فشاری، و محل وقوع آن‌ها طی سناریوی اول ارائه شده است.



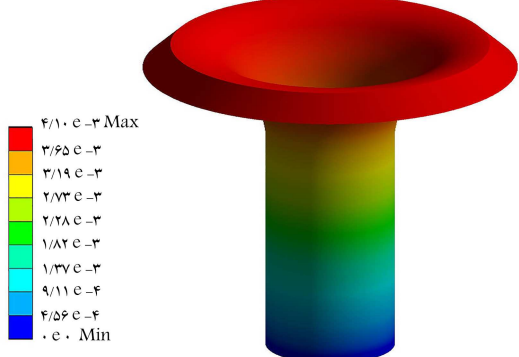
شکل ۳. شبکه‌بندی دامنه‌ی عبوری سیال در مجاورت سازه‌ی سرریز نیلوفری.

وروودی سرعت، ورودی فشار، خروجی فشار، مرز دیواره و مرز تقارنی است. تعداد احجام کنتل در دامنه برابر ۱۲۶۲۲ عدد است. نوع شبکه‌بندی به دلیل وجود انحصار در پروفیل سرریز، از نوع غیرساختاری افته است و باید توزیع شبکه در هر دو قسمت دامنه و سازه با یکدیگر منطبق باشند. دلیل این انطباق، توزیع بهتر فشار استاتیکی اعمال شده از جانب سیال، به عنوان بارگذاری بر روی سازه‌ی سرریز نیلوفری است. جهت افزایش دقت در محاسبات اندرکنش دو طرفه‌ی سازه و سیال، در مجاورت مرز دیواره‌ی سازه بر تراکم شبکه‌بندی افزوده شده است. سیال مورد استفاده در دامنه‌ی شبیه‌سازی، سیال آب در دمای ۲۰ درجه‌ی سانتی‌گراد است. کلیه‌ی مشخصات فیزیکی استاندارد آب، در دمای مذکور برای مدل مدنظر قرار گرفته است. در شکل ۳، بررسی از چگونگی شبکه‌بندی دامنه‌ی عبوری سیال مشاهده می‌شود.

مقدار دبی سیلان طرح برای سرریز، ۵۵۰ متر مکعب بر ثانیه است. برای جلوگیری از بروز پدیده‌ی خلاء‌زایی و اعمال بارگذاری ضربه‌ی ناخواسته ناشی از پدیده‌ی ایجاد حفره<sup>۸</sup>، چهار مجرای هواه در طول گلوبگاه در نظر گرفته شده است. هواه‌های مذکور، هوا با دبی معادل ۸٪ دبی عبوری را به داخل گلوبگاه می‌دمند.<sup>[۱۹]</sup> جریان هوای ورودی باعث کاهش چگالی جت ریزشی در گلوبگاه می‌شود و رسیک کاهش فشار استاتیکی نسبت به فشار اتمسفر کاهش می‌یابد. مجرای مذکور در قالب شرایط مرزی ورودی فشار به صورت پشت سر هم در داخل گلوبگاه قرار گرفته است (شکل ۸د). شرایط مرزی دیواره، شامل زبری بتن، در حدود ۱ میلی‌متر است. اعمال زبری به دیواره‌ها باعث ارزگذاری در چگونگی رشد لایه‌های مرزی می‌شود و رفتار جریان در مجاورت دیواره را به آنچه در واقعیت است، نزدیک‌تر می‌کند. در صورت لحظات کردن زبری در شرایط مرزی دیواره، آشفتگی ایجاد شده در نکامل یافته‌گی جریان در مجاورت دیواره‌ها مؤثر خواهد بود. همچنین رفتار متقابل زیرلایه‌های لرج مرزی در مقابل رفتار آشفته‌ی مجاور دیواره با دقت بالاتری مدل می‌شود. قسمت‌های بیرونی مدل به صورت مرز متقاضن مدنظر قرار گرفته‌اند. با انجام این کار، گردابیان سرعت در مرز مذکور صفر خواهد بود و امواج تولیدی به داخل دامنه باز نخواهند گشت. در حقیقت، این حالت وجود سیال تا فوایدی دورتر از سازه‌ی سرریز نیلوفری را ایجاد می‌کند. در مرز فوقانی دامنه، فشار اتمسفر برقرار است.

#### ۴. تحلیل نتایج و بحث

همان‌گونه که توضیح داده شد، شبیه‌سازی مدل در پژوهش حاضر، طی سه سناریو بررسی شده است. سناریوی اول، هنگامی است که مخزن سد خالی از آب است و سازه‌ی سرریز تحت اثر وزن خود خواهد بود. سناریوی دوم، زمانی است که در



شکل ۶. تغییرشکل سازه‌ی سرریز تحت سناریوی دوم (بار وزن و هیدرواستاتیک) بر حسب متر.

جدول ۳. تنش‌های بیشینه و محل وقوع آن‌ها در سناریوی دوم.

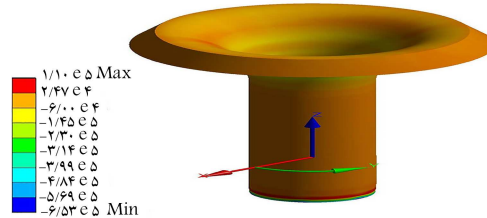
تنش‌ها	مقدار و محل وقوع آن‌ها
۰ مگاپاسکال (دیواره‌ی مجاور تکیه‌گاه)	۸۷
۰ مگاپاسکال (دیواره‌ی مجاور تکیه‌گاه)	۷۹
بیشینه‌ی کششی	
بیشینه‌ی فشاری	

باید دستخوش تغییر شود. تغییرشکل سازه تحت بارگذاری سناریوی دوم در شکل ۶ مشاهده می‌شود. مجدداً با توجه به تقارن مسئله، سازه‌ی سرریز دچار نشست است به مقدار ۴/۱ میلی‌متر شده و تغییرشکل جانبی نداشته است. مقدار نشست سازه در این حالت نسبت به سناریوی اول حدود ۹٪ کمتر است که علت آن می‌تواند مؤلفه‌ی نیروی رو به بالا (نیروی شناوری) وارد بر قسمت تاج سرریز ناشی از بار هیدرواستاتیک باشد. بنابراین وزن ظاهری سازه کاهش یافته است.

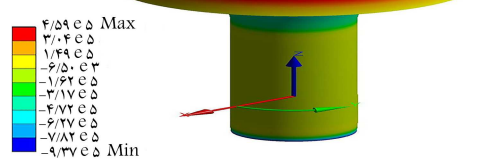
کانتورهای تنش شعاعی، محیطی، قائم، تنش اصلی بیشینه و کمینه‌ی سازه‌ی سرریز نیلوفری، تحت سناریوی دوم در شکل ۷ مشاهده می‌شود. با توجه با تنش‌های نمایش داده شده، مقدار بیشینه‌ی تنش کششی در سازه، ۰ مگاپاسکال در محل دیواره‌ی مجاور تکیه‌گاه گیردار است. مقدار تنش بیشینه‌ی کششی نسبت به سناریوی اول ۹۳٪ افزایش داشته و محل آن نیز تغییر کرده است. مقدار بیشینه‌ی تنش فشاری در سناریوی دوم ۷/۹ مگاپاسکال بوده است، که نسبت به سناریوی اول، ۷۲٪ افزایش داشته و همچنین محل بیشینه‌ی تنش فشاری نیز از قسمت پیرونی دیواره‌ی مجاور محل تکیه‌گاه گیردار در سناریوی اول، به دیواره‌ی داخلی مجاور تکیه‌گاه انتقال یافته است. لذا با توجه به نتایج ذکر شده، مقدار بیشینه‌ی تنش‌های کششی و فشاری در بتن سازه‌ی سرریز نیلوفری در سناریوی دوم، نسبت به سناریوی اول افزایش محسوسی داشته است. می‌توان به این نتیجه رسید که وجود آب در مخزن، تغییرشکل نهایی سازه را کاهش می‌دهد، اما بر مقادیر تنش کشش و فشاری سازه می‌افزاید. لذا سناریوی دوم نسبت به سناریوی اول، شرایط بحرانی تری دارد؛ هر چند که مقدار تنش‌های کششی و فشاری ایجاد شده در داخل بدنی بتنی سرریز، همچنان کمتر از مقاومت کششی و فشاری بتن است و بدنی‌ی سرریز دچار مشکل ترک خوردگی نخواهد شد. در جدول ۳، مقدار تنش‌های بیشینه‌ی کششی و فشاری، و محل وقوع آن‌ها، طی سناریوی جاری ارائه شده است.

### ۳.۴. سناریوی سوم (مخزن پر همراه جریان بر روی سرریز)

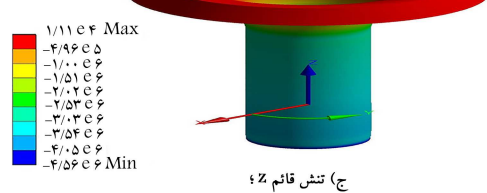
در قسمت اول سناریوی سوم به صورت دینامیکی در طول زمان، اندرکنش سازه‌ی سرریز و سیال آب روی آن از بدو شروع جریان سیلان تا به تعادل رسیدن آن به صورت



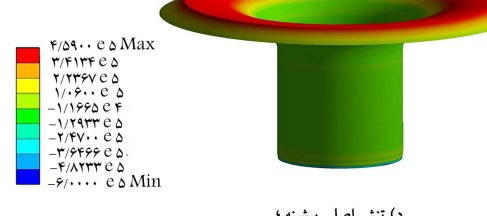
الف) تنش شعاعی  $\sigma_r$



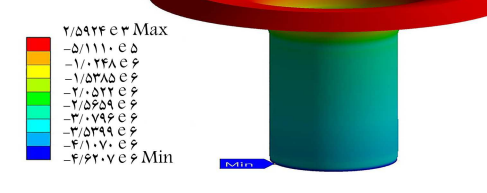
ب) تنش محیطی  $\sigma_t$



ج) تنش قائم  $\sigma_z$



د) تنش اصلی بیشینه  $\sigma_{max}$

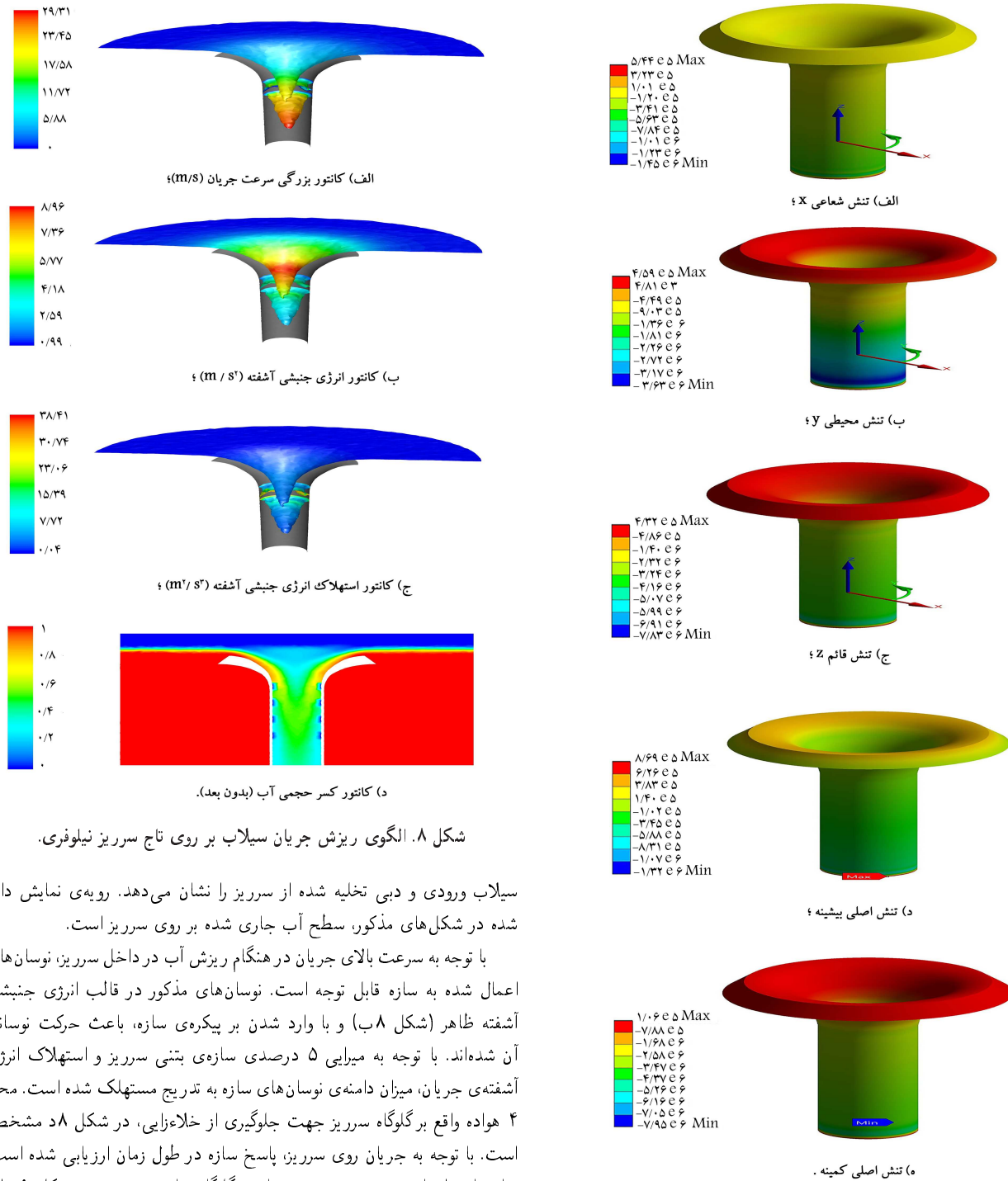


ه) تنش اصلی کمینه  $\sigma_{min}$

۵. کانتور تنش بدنی سازه‌ی سرریز نیلوفری تحت سناریوی اول ( فقط بار وزن ) واحدها براساس پاسکال هستند.

### ۲.۴. سناریوی دوم (مخزن پر بدون جریان بر روی سرریز)

سناریوی دوم، حالتی را برای سازه بارگذاری می‌کند که بار وزن، به اضافه‌ی بار هیدرواستاتیک مخزن پر در تراز تاج سرریز به شکل هم‌زمان اعمال می‌شوند، اما جریان بر روی سرریز جاری نمی‌شود. با توجه به حضور نیروهای هیدرواستاتیک دارای مؤلفه‌های افقی و قائم، مقدار تنش‌های ایجاد شده نسبت به سناریوی اول

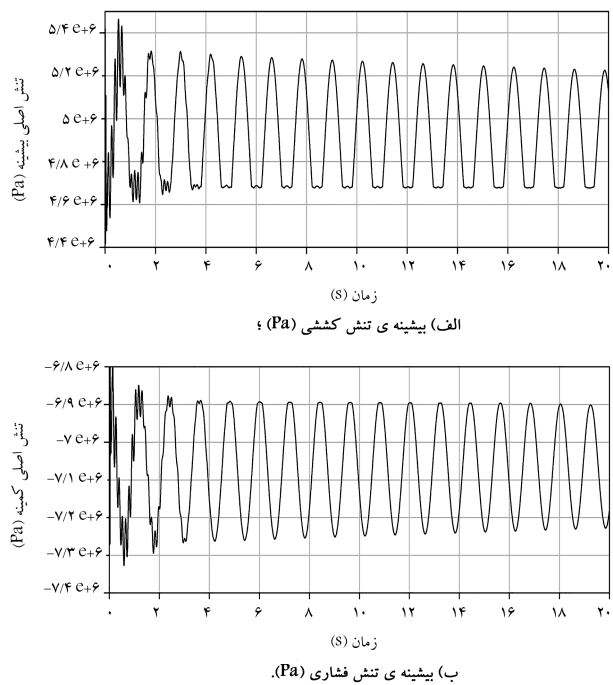


شکل ۸. الگوی ریزش جریان سیالاب بر روی تاج سرریز نیلوفری.

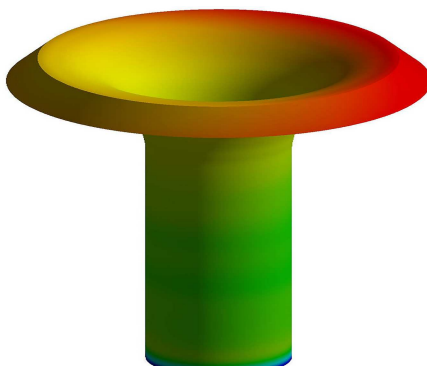
سیالاب ورودی و دبی تخلیه شده از سرریز را نشان می‌دهد. رویه‌ی نمایش داده شده در شکل‌های مذکور سطح آب جاری شده بر روی سرریز است. با توجه به سرعت بالای جریان در هنگام ریزش آب در داخل سرریز، نوسان‌های اعمال شده به سازه قابل توجه است. نوسان‌های مذکور در قالب انرژی جنبشی آشفته ظاهر (شکل ۸-ب) و با وارد شدن بر پیکره‌ی سازه، باعث حرکت نوسانی آن شده‌اند. با توجه به میرایی ۵ درصدی سازه‌ی بتمنی سرریز و استهلاک انرژی آشفته‌ی جریان، میران دائمی نوسان‌های سازه به تدریج مستهلك شده است. محل ۴ هواده واقع بر گلوبگاه سرریز جهت جلوگیری از خلاء‌زایی، در شکل ۸ د مشخص است. با توجه به جریان روی سرریز پاسخ سازه در طول زمان ارزیابی شده است. جابه‌جایی ایجاد شده در دو قسمت تاج و گلوبگاه سازه‌ی سرریز در شکل ۹ برای مدت ۲۰ ثانیه نشان داده است. جریان هنگام وارد شدن به داخل سرریز، باعث جابه‌جایی جانبی سازه تا ۲ میلی‌متر در تراز تاج و ۰/۵ میلی‌متر در تراز گلوبگاه سرریز شده است. با اعمال بارگذاری نوسانی توسط پدیده‌ی آشفتگی موجود، نوسان‌های رخداده در داخل جریان، به وسیله‌ی فشار سیال به دیواره‌های سازه اعمال می‌شوند. جابه‌جایی جانبی سازه از لحظه‌ی شروع ریزش سیالاب به داخل سرریز در شکل ۹ مشاهده می‌شود. در تحلیل دینامیکی، با درنظر گرفتن نیروهای اینرسی در پاسخ سازه به بارگذاری نوسانی توسط سیال، تنش‌ها به صورت چرخه‌ی کم و زیاد می‌شوند. این حالت ممکن است پدیده‌ی خستگی را برای سازه ایجاد

شکل ۷. کانتور تنش بدنی سازه سرریز نیلوفری تحت سناریوی دوم (بار وزن و هیدرواستاتیک). واحدها بر اساس پاسکال می‌باشد.

متقابل ارزیابی شده است. در این حالت، علاوه بر وجود بار وزن و بار هیدرواستاتیک مخزن پر، بار ناشی از ریزش جت ریزشی بر روی تاج و گلوبگاه سرریز نیز به عنوان بارگذاری مدنظر قرار گرفته است. به دلیل اینکه جریان سیال دارای آشفتگی است، نوسان‌های ایجاد شده در اثر آن باید در بارگذاری اعمال شود. این کار به وسیله‌ی مدل آشفتگی به کار رفته در پیش‌بینی رفتار جریان انجام می‌پذیرد. شکل ۸، الگوی ریزش جریان سیالاب بر روی تاج سرریز نیلوفری، هنگام برقراری تعادل بین دبی



شکل ۱۰. نمودار تاریخچه‌ی زمانی تغییرات بیشینه‌ی تنش‌های فشاری و کششی به وجود آمده در سازه‌ی سرریز تحت سناریوی سوم.

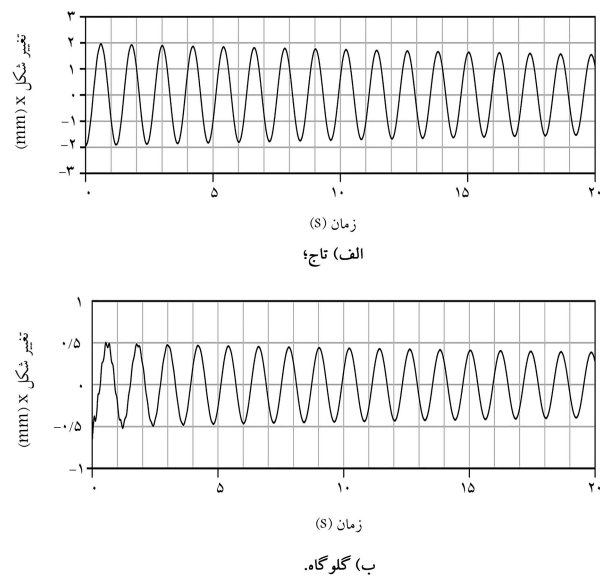


شکل ۱۱. تغییرشکل سازه‌ی سرریز تحت سناریوی سوم (پس از به تعادل رسیدن جریان) بر حسب متر.

تغییرشکل رفت و برگشتی سازه بروز می‌کنند. این حرکت رفت و برگشتی، مانند طرہ، سازه را وادار به نوسان می‌کند. دامنه‌ی نوسان‌های بیشینه‌ی تنش‌های کششی و فشاری در شکل ۱۰ (الف و ب) مشاهده می‌شوند.

پس از رسیدن جریان سیلان به تعادل، یعنی هنگامی که دبی تخلیه‌ی سرریز نیافری با دبی سیلان برابر شد، از دامنه‌ی نوسان‌ها کاسته و بازگذاری تعادل می‌شود. در قسمت دوم از سناریوی سوم، الگوی حرکت جریان سیلان در سرریز پایدار و متوسط زمانی پارامترهای هیدرودینامیک جریان ثابت می‌شود و در طول زمان تغییر نمی‌کند. در این حالت نیز وضعیت سازه برسی شده است. تغییرشکل نهایی سازه پس از به تعادل رسیدن جریان سیلان بر روی آن در شکل ۱۱ مشاهده می‌شود.

مقدار تغییرشکل بیشینه در این حالت  $1/1$  میلی‌متر است. کاهش تغییرشکل سازه نسبت به سناریوهای پیشین، به علت فشار دینامیکی اعمال شده ناشی از حرکت جریان سیلان بر قسمت زیرین تاج سرریز (به سمت بالا) و همچنین فشار دینامیکی وارد بر داخل گلوبگاه سرریز نیافری، ناشی از حرکت ریزشی جت است.



شکل ۹. مقدار جایه‌جایی جانبی سرریز نیافری تحت سناریوی سوم (وقوع جریان بر روی سرریز).

کند. در واقع شکل‌گیری جریان آشفته مستلزم دریافت انرژی جنبشی آشفته توسعه المان‌های سیال است. ابعاد ساختارهای چرخشی کوچک و بزرگ تولید شده (ادی) توسط نوسان‌های مذکور، بستگی مستقیم به ابعاد مجرأ و مقیاس‌های کولومگروف دارد.<sup>[۱۰]</sup> این بدن معنی است که در صورت تغییر ابعاد سرریز، میران بودجه‌ی انرژی جنبشی آشفته‌ی اختصاص‌یافته به جریان، دستخوش تغییر می‌شود. بنا بر این علمت اصلی بروز حرکت نوسانی در دامنه‌ی کوچک، نوسان‌های ناشی از آشفته‌ی جریان است. وجود ترم مستهلك کننده‌ی انرژی در معادله‌ی انتقال آشفته‌کی باعث می‌شود انرژی جنبشی نوسانی ایجاد شده، پس از رسیدن ادی‌ها به ریزمقیاس‌های کولومگروف به گرما تبدیل شوند. لذا بیشینه‌ی دامنه‌ی نوسان‌های سازه، از حدود  $2$  میلی‌متر تجاوز نمی‌کنند و دامنه‌ی مذکور طی گذر زمان، کم کم رو به کاهش می‌گذارد. همچنین شکل‌ها نشان می‌دهند با نزدیک شدن به تکیه‌گاه گلوبگاه سرریز نیافری، از دامنه‌ی نوسان‌های موجود در سازه کاسته می‌شود، و این موضوع با واقعیت مطابقت دارد.

نمودار تاریخچه‌ی زمانی تغییرات بیشینه‌ی تنش‌های فشاری و کششی به وجود آمده در سازه‌ی سرریز در شکل ۱۰ مشاهده می‌شود. این تنش‌ها عمدتاً در قسمت‌های نزدیک به تکیه‌گاه گلوبگاه شده‌اند. مقادیر بیشینه‌ی تنش‌ها، نسبت به سناریوهای قبلی تغییراتی داشته است. بیشینه‌ی تنش کششی نسبت به دو سناریوی اول افزایش محسوسی یافته و به  $5/3$  مگاپاسکال رسیده است. این مقادار از مقاومت کششی معمول بتن بیشتر است و می‌تواند منجر به ترک خوردنی آن شود. با توجه به مستغرق بودن سازه‌ی سرریز، امکان نشت آب در داخل ترک‌های ایجاد شده و رشد و گسترش آن‌ها محتمل است. این امر ممکن است منجر به خرابی پیش‌رونده‌ی داخل بدنی سرریز و درنهایت شکست آن شود.

بیشینه‌ی تنش فشاری با مقادار  $7/3$  مگاپاسکال نسبت به سناریوی اول افزایش و نسبت به سناریوی دوم، اندکی کاهش یافته است. مقیاس‌های مورد توجه، بحث نوسان‌های ایجاد شده در تنش‌های سازه‌ی سرریز است. نوسان‌های مذکور، به علت آشفته‌گی موجود از جانب جریان سیلان به پیکره‌ی سازه اعمال می‌شوند و در قالب

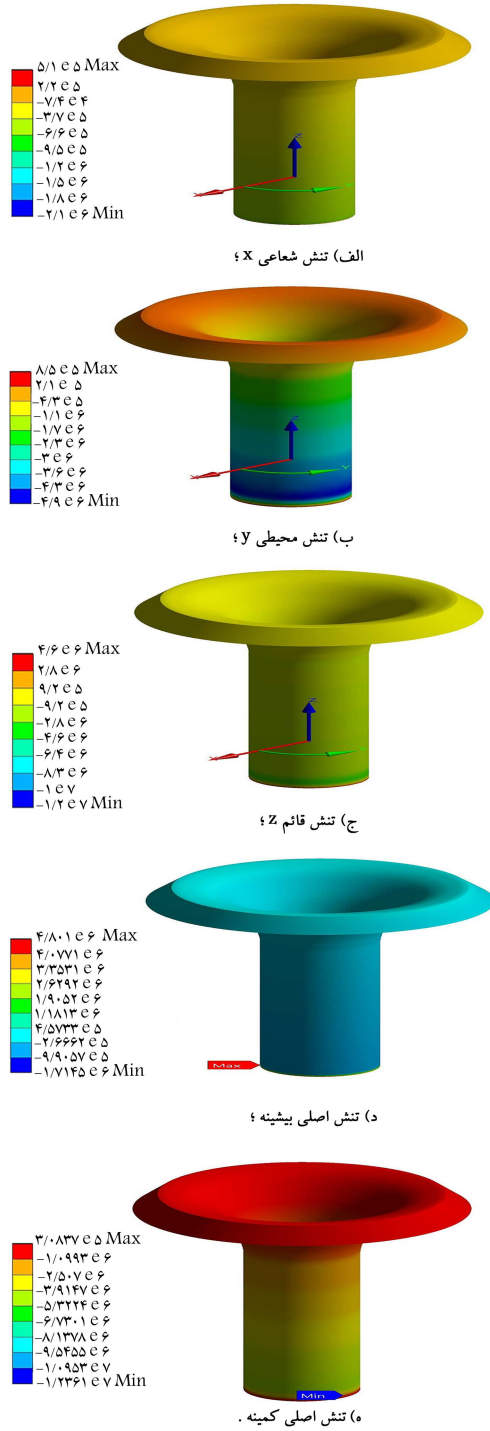
جدول ۴. تنش‌های پیشینه و محل وقوع آن‌ها در سناریوی سوم.

تشن‌ها	مقدار و محل وقوع
۵/۳ مگاپاسکال (دیواره‌ی مجاور تکیه‌گاه)	بیشینه‌ی کششی ق ۱
۷/۳ مگاپاسکال (دیواره‌ی مجاور تکیه‌گاه)	بیشینه‌ی فشاری ق ۱
۴/۸ مگاپاسکال (دیواره‌ی مجاور تکیه‌گاه)	بیشینه‌ی کششی ق ۲
۱۲/۳ مگاپاسکال (دیواره‌ی مجاور تکیه‌گاه)	بیشینه‌ی فشاری ق ۲

سرریز، عمق مشخص و پایداری دارد که باعث بارگذاری وزنی بر روی کل سازه خواهد شد. لذا پیشینه‌ی تشن‌های کششی و فشاری وارد بر المان‌های دیواره‌ی بیرونی و داخلی مجاور تکیه‌گاه گیردار، نسبت به سناریوهای اول و دوم افزایش یافته است. اما پیشینه‌ی تشن کششی با مقدار ۴/۸ مگاپاسکال، در مقایسه با قسمت اول سناریوی سوم اندکی کاهش از خود نشان می‌دهد. هر چند مقدار تشن کششی همچنان از مقدار معمول مقاومت کششی بتن (حدود ۴ مگاپاسکال) بیشتر است و امکان ترک خودگی و آسیب به بدنه‌ی سرریز وجود دارد. کاهش ذکر شده در پیشینه‌ی تشن کششی، باعث افزایش پیشینه‌ی تشن فشاری در سازه‌ی سرریز طی بخش دوم سناریوی سوم تا حدود ۱۲/۳ مگاپاسکال شده است. این مقدار از مقاومت فشاری معمول بتن (حدود ۲۰ مگاپاسکال) کمتر است. با توجه به اینکه سرریز نیلوفری برای دبی سیلاپ مشخصی طراحی شده است، لذا در صورت اینکه دبی سیلاپ افزایش یابد، در داخل سرریز فشار استاتیکی کاهش می‌یابد و تعادل سیستم بارگذاری را از بین می‌برد. زمانی که جریان سیال در بازه‌ی دبی سیلاپ طرح برقرار است، پروفیل طراحی شده برای تاج سرریز به‌گونه‌ی است که فشار استاتیکی هموار بر روی آن مثبت است. این فشار از سمت دیواره‌ی داخلی گلوگاه سرریز بارگذاری را تعادل نگه می‌دارد. بنابراین سرریز نیلوفری هیچ‌گاه نباید از دبی سیلاپ طرح، جریان بیشتری را عبور دهد. در جدول ۴، مقدار تشن‌های پیشینه‌ی کششی و فشاری و محل وقوع آن‌ها، طی سناریوی سوم مشاهده می‌شود.

## ۵. نتیجه‌گیری

در پژوهش حاضر، اندرکنش سازه و سیال در مورد سازه‌ی سرریز نیلوفری بررسی شده است. انواع حالت‌های ممکن در طول عمر بهره‌برداری از سرریز، طی سه سناریو ارزیابی شده‌اند. سناریوی استاتیکی اول، هنگامی است که مخزن سد خالی باشد. سناریوی استاتیکی دوم، هنگام پر بودن مخزن سد تا تراز تاج سرریز و سناریوی دینامیکی سوم، در حالت اول، هنگام شروع سیلاپ و جاری شدن آن بر روی تاج سرریز و در حالت دوم، هنگام به تعادل رسیدن جریان عبوری بر روی آن است. برای شبیه‌سازی اندرکنش دو طرفه، از تلفیق روش حجم محدود برای قسمت دامنه‌ی سیال و المان محدود برای قسمت سازه استفاده شده است. بارگذاری بر سازه از طریق فشار استاتیکی سیال اعمال و پاسخ سازه به بارگذاری انجام شده، به عنوان تغییرشکل شرایط مرزی دیواره‌ی سرریز، بر دامنه‌ی سیال لحاظ شده است. برای قسمت سیال، از مدل ریاضی آشفتگی غیرایزوتروپیک تنش رینولدز استفاده شده است. نتایج تحلیل‌ها نشان می‌دهد، بحرانی ترین حالت بارگذاری در ایجاد پیشینه‌ی تشن کششی (۵/۳ مگاپاسکال)، در قسمت اول سناریوی سوم رخ می‌دهد. این مقدار تشن کششی، در حدود ۱۱/۷۸ برابر تشن کششی سناریوی اول و ۶/۰۹ برابر تشن



شکل ۱۲. کانتورهای تشن شعاعی، محیطی، قائم، تشن اصلی پیشینه و کمینه‌ی سازه‌ی سرریز نیلوفری، تحت سناریوی سوم پس از به تعادل رسیدن جریان در شکل ۱۲ مشاهده می‌شود. پس از به تعادل رسیدن جریان، قسمت‌های داخلی گلوگاه سرریز نیلوفری ممبوأ از آب شده است. بنابراین دیواره‌ی قسمت داخلی آن، در برابر فشار هیدرولاستاتیک دیواره‌ی بیرونی، بارگذاری فشاری صورت گرفته و بر تشن‌ها نیز در راستای محور قائم افزوده شده است. علاوه بر این، جریان آب بر روی تاج

کانتورهای تشن شعاعی، محیطی، قائم، تشن اصلی پیشینه و کمینه‌ی سازه‌ی سرریز نیلوفری، تحت سناریوی سوم پس از به تعادل رسیدن جریان در شکل ۱۲ مشاهده می‌شود. پس از به تعادل رسیدن جریان، قسمت‌های داخلی گلوگاه سرریز نیلوفری ممبوأ از آب شده است. بنابراین دیواره‌ی قسمت داخلی آن، در برابر فشار هیدرولاستاتیک دیواره‌ی بیرونی، بارگذاری فشاری صورت گرفته و بر تشن‌ها نیز در راستای محور قائم افزوده شده است. علاوه بر این، جریان آب بر روی تاج

۵ درصدی سازه و ترم استهلاک انرژی جنبشی آشفته، به تدریج از دامنه نوسان سازه می کاهند. لذا تیجه گیری می شود که شروع جریان سیلاب و سپس تعادل جریان آن بر روی سرریز نیلوفری، بیشترین تنش های کشنشی و فشاری را در سازه ایجاد می کنند. لذا پیشنهاد می شود برای پژوهش های آتی، ظهور جریان گردانی بر روی تاج سرریز دبی های مختلف عبوری از سرریز آثار خطای ساخت سازه سرریز و همچنین بازگذاری ناشی از پدیده خلاء زایی در سازه سرریز نیلوفری بحث و بررسی شود.

کشنشی سناریوی دوم است. همچنین بحرانی ترین حالت بازگذاری در ایجاد بیشینه ای تنش فشاری (۱۲/۳ مگا پاسکال)، در قسمت دوم سناریوی سوم نمود دارد. این مقدار تنش فشاری نیز در حدود ۲/۶۷ برابر تنش فشاری سناریوی اول و ۱/۵۶ برابر تنش فشاری سناریوی دوم است. قسمت اول سناریوی سوم نیز، ایجاد بازگذاری چرخه بی را برای سازه سرریز رقم می زند و این احتمال وجود دارد که اضافه تنش های ناشی از خستگی، سازه را تحت تأثیر قرار دهد. بنا به آنچه نتایج تحلیل نشان می دهد، میرایی

## پابلوشت ها

1. Navier-Stokes
2. reynolds averaged navier-stokes (RANS)
3. spalart-allmaras
4. K- $\epsilon$
5. K- $\omega$
6. Boussinesq hypothesis
7. anisotropic
8. RSM
9. Maynord
10. Cassidy
11. Betts
12. Olsen & Kjellesvig
13. Hou
14. Grandmont & Maday
15. Liaw & Chopra
16. Goyal
17. Seo
18. pitting

## منابع (References)

1. Launder, B.E., Reece, G.J. and Rodi, W. "Progress in the development of a Reynolds stress turbulence closure", *J. Fluid. Mech.*, **68**(3), pp. 537-566 (1975).
2. Hinze, J.O. "Turbulence, in mechanical engineering", 2th Edn., McGraw-Hill Education, New York, US (1975).
3. Hinze, P.A. and Pettersson-Reif, B.A. "Statistical theory and modeling for turbulence flow", Wiley, UK (2011).
4. Maynord, S.T. "General spillway investigation", Technical Report HL-85-1, Waterways Exp. Station, Corps of Eng., MS, submitted to Dep. of the US Army (1985).
5. Cassidy, J.J. "Irrational flow over spillways of finite height", *J. Engrg. Mech. Div.*, **91**(6), pp. 155-173 (1965).
6. Betts, P.L. "A variation principle in term of stream function for free surface flows and its application to finite element method", *Comp. Flu.*, **7**(2), pp. 145-153 (1979).
7. LI, W., Xie, Q. and Chen, C.J. "Finite analytic solution of flow over spillways", *J. Engrg. Mech.*, **115**(12), pp. 2635-2648 (1989).
8. Olsen, N.R. and Kjellesvig, H.M. "Three-dimensional numerical flow modeling for estimation of spillway capacity", *J. Hyd. Res.*, **36**(4), pp. 775-784 (1998).
9. Mirabi, M.H. and Mansoori, A. "Assessment of multi-equation mathematical models of turbulence in estimation of hydrodynamic parameters at submerged jet", *J. Modares. Civ. Eng.*, **17**(6), pp. 245-258 (2018).
10. Hou, H., Wang, J. and Layton, A. "Numerical method for fluid-structure interaction- A review", *Comm. Comp. Phys.*, **12**(2), pp. 337-377 (2015).
11. Grandmont, C. and Maday, Y. "Fluid-structure interaction: A theoretical point of view", *J. Comp. Mech.*, **9**(6-7), pp. 633-653 (2012).
12. Liaw, C.Y. and Chopra, A.K. "Dynamics of tower surrounded by water", *Eart. Eng. Struct. Dyn.*, **3**(1), pp. 33-49 (1974).
13. Goyal, G.A. and Chopra, A.K. "Earthquake analysis of intake-outlet towers including tower-water-foundation-soil interaction", *Eart. Eng. Struct. Dyn.*, **18**(3), pp. 325-344 (1989).
14. Razavi, A.R. and Ahmadi, H. "Three-Dimensional simulation of flow field in morning glory spillway to determine flow regimes (Case Study: Haraz Dam)", *Civil. Eng. Jou.*, **3**(11), pp. 1133-1145 (2017).
15. Seo, I.W., Kim, Y.D., Park, Y.S. and et al. "Spillway discharges by modification of weir shapes and overflow surroundings", *Env. Earth. Sci.*, **75**(496), pp. 112-125 (2016).
16. Enjilzadeh, M.R. and Nohani, E. "Numerical modeling of flow field in morning glory spillway and determining rating curve at different flow rates", *Civil. Eng. J.*, **2**(9), pp. 448-457 (2016).
17. Chopra, A.K. "Dynamics of structures", 4th Edn., Pearson Education, Boston, MA, US (2012).
18. USBR, "Design of small dams", 3th Edn., US. Dep. of Interior (1987).
19. Peterka, A.J. "The effect of entrained air on cavitation's pitting", 5th IAHR. Cong., pp. 507-518 (1953).
20. Landahl, M.T. and Mollo-Christensen, E. "Turbulence and random processes in fluid mechanics", Cambridge University Press, UK (1990).